

Generalized entanglement entropies based on holography

玉岡 幸太郎 (日大文理)

このトークで話すこと：

- ・ホログラフィーを動機として生まれた量子情報量
- ・その量子重力及び量子多体系への応用

1. Introduction (エンタングルメント・エントロピー)
2. 混合状態に対する量子情報量
3. エントロピーの事後選択過程への一般化
4. Discussion



ほぼレビューですが、comprehensive ではないです 😱

1. Introduction

量子エンタングルメント
= 系（状態）の“量子性”を特徴付ける指標

例) EPR pair

$$|\psi_{AB}\rangle = \frac{1}{\sqrt{2}}(|0_A 0_B\rangle + |1_A 1_B\rangle)$$



- ・AとBのスピン(Z)の測定値は完全にランダムだが、両者の値には相関がある
- ・他のスピン(X,Y)に対しても同様（干渉項が本質的→量子論特有の相関！）

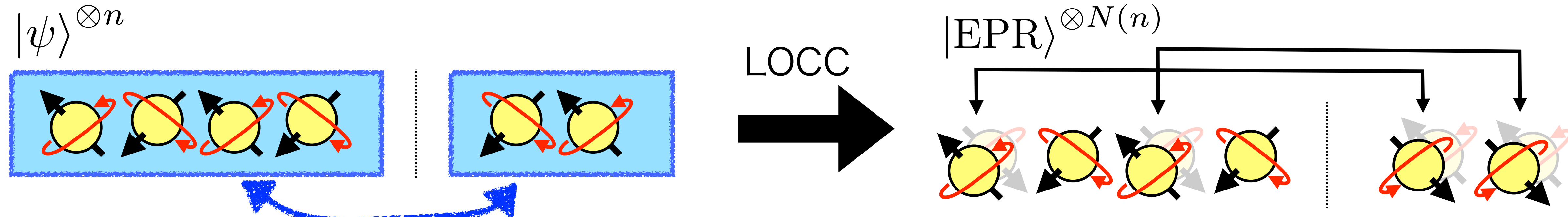
c.f. $\rho_{AB} = \frac{1}{2} |0_A 0_B\rangle \langle 0_A 0_B| + \frac{1}{2} |1_A 1_B\rangle \langle 1_A 1_B|$

1. Introduction

エンタングルメント・エントロピーでエンタングルメントを定量化

$$S(\rho_A) = -\text{Tr} \rho_A \log \rho_A \quad \rho_A = \text{Tr}_B |\psi_{AB}\rangle \langle \psi_{AB}| \quad \langle \psi_{AB} | \mathcal{O}_A \otimes \mathbf{1}_B | \psi_{AB} \rangle = \text{Tr}_A [\rho_A \mathcal{O}_A]$$

- EPR pair はエンタングルメントの基本単位
- 純粹状態に対して、mutuality : $S(\rho_A) = S(\rho_B)$
- 一般に、純粹状態のEE = (漸近的な) EPR pair の個数 : $S(\rho_A) = \lim_{n \rightarrow \infty} \frac{N(n)}{n}$

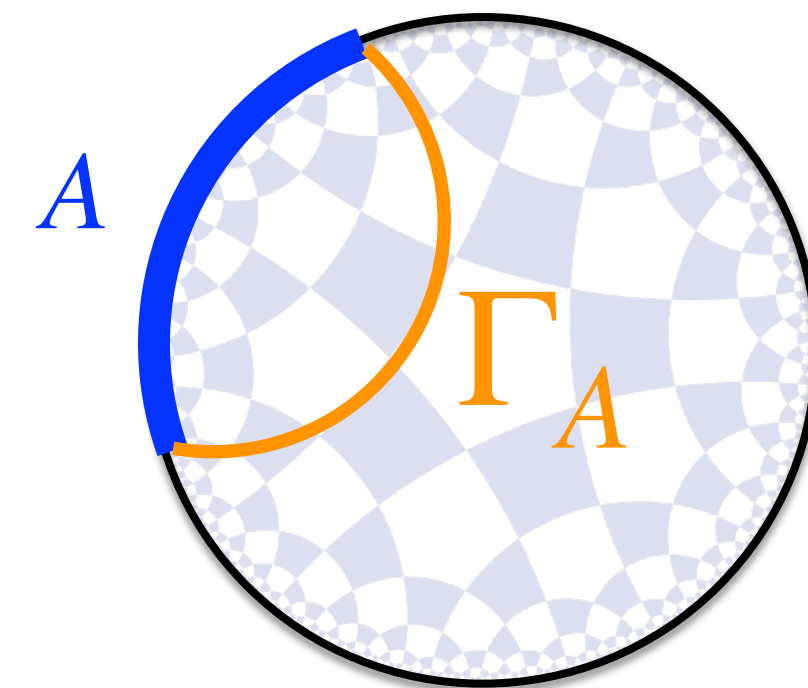


1. Introduction

ホログラフィーにおけるエンタングルメントと時空の構造の対応

笠-高柳公式 Ryu-Takayanagi '06

$$S(\rho_A) = \underset{\substack{\partial\Gamma_A = \partial A \\ \Gamma_A \sim A}}{\text{Min}} \left[\frac{\text{Area}(\Gamma_A)}{4G_N} \right]$$



- ・ 時間依存性
Hubeny-Rangamani-Takayanagi '07
- ・ 量子補正
Faulkner-Lewkowycz-Maldacena '13, Engelhardt-Wall '14
- ・ AdS/CFT対応を用いた証明
Lewkowycz-Maldacena'13

量子情報 → 量子重力

- ・ 古典重力と双対な量子状態を量子情報量で特徴づける (例 : 相互情報量のモノガミ)
Hayden-Hedrick-Maloney '11
- ・ Page 曲線 → アイランド公式 Penington '19, Almheiri-Engelhardt-Marolf-Maxfield '19, ...
- ・ 量子誤り訂正符号や Random Tensor Network を用いた AdS/CFT 対応のトイモデル
Almheiri-Dong-Harlow '14, Pastawski-Yoshida-Harlow-Preskill '15, ..., Hayden-Nezami-Qi-Thomas-Walter-Yang '16, ...

1. Introduction

重力/量子情報 対応？（幾何学量と量子情報量の密接な関係）

- 両者の問題も密接に対応

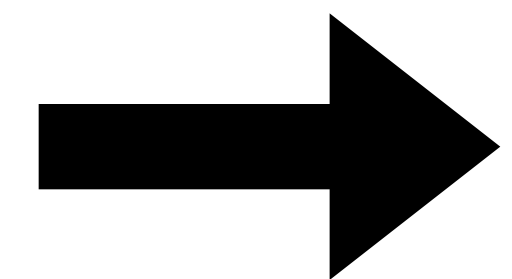
例)

色々な幾何学量
(極小曲面だけでは不十分)



複雑なエンタングルメント構造
(エンタングルメント・エントロピー
だけでは不十分)

- AdS/CFT対応をモチベーション/ヒントに量子情報量を見つけられないか？



量子重力/量子多体系への応用

このトークで議論する例：

- ① 混合状態に対する量子情報量
- ② 事後選択過程への一般化 ($+\alpha$)

このトークで話すこと：

- ・ホログラフィーを動機として生まれた量子情報量
- ・その量子重力及び量子多体系への応用

1. Introduction (エンタングルメント・エントロピー)
2. 混合状態に対する量子情報量
3. エントロピーの事後選択過程への一般化
4. Discussion

2. 混合状態に対する量子情報量

エンタングルメント・エントロピーは万能ではない

例) $\rho_{AB} = q |\Psi\rangle\langle\Psi| + (1 - q)\sigma_A \otimes \sigma_B$

$$|\Psi\rangle = \frac{1}{\sqrt{2}}(|0_A 1_B\rangle - |1_A 0_B\rangle)$$

EPRペア

$$\sigma = \frac{1}{2} |0\rangle\langle 0| + \frac{1}{2} |1\rangle\langle 1|$$

古典相関のみ

→ $\rho_A = \frac{1}{2} |0_A\rangle\langle 0_A| + \frac{1}{2} |1_A\rangle\langle 1_A|$ EEは q に依存しない

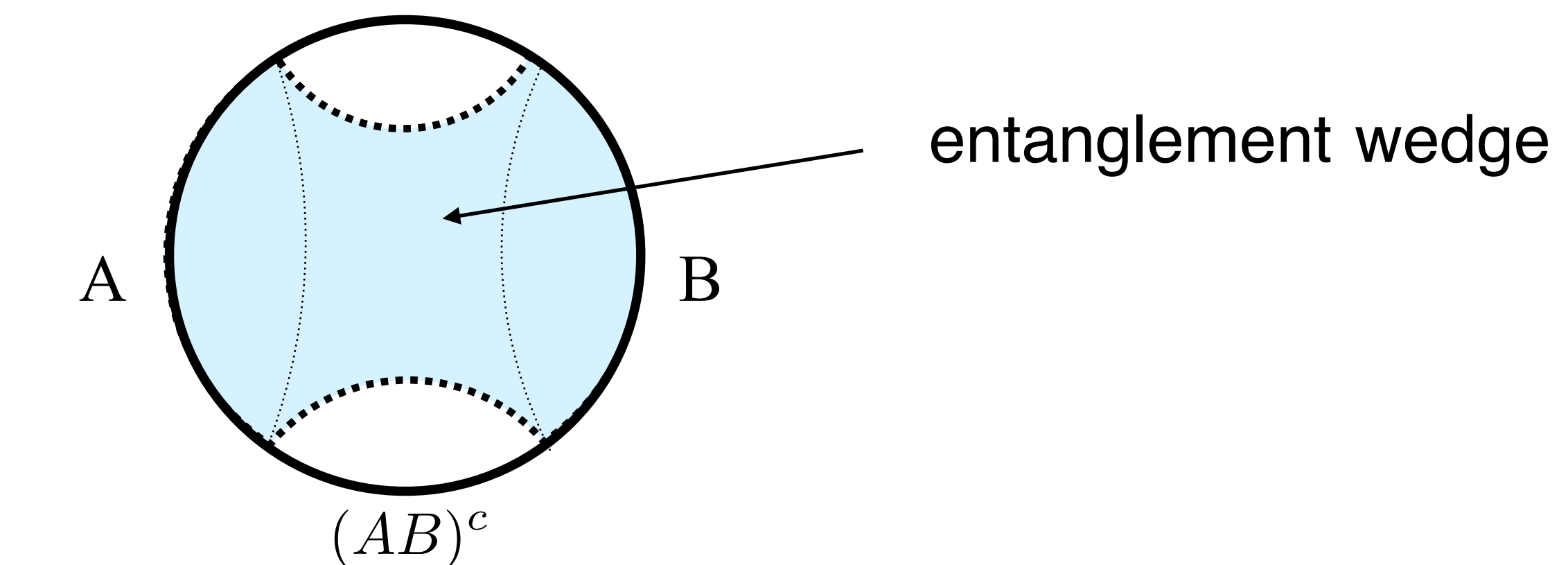
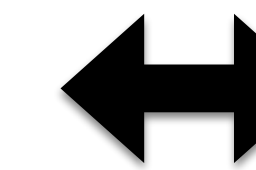
2. 混合状態に対する量子情報量

混合状態の相関の定量化

$$\rho^2 \neq \rho = |\psi\rangle\langle\psi|$$

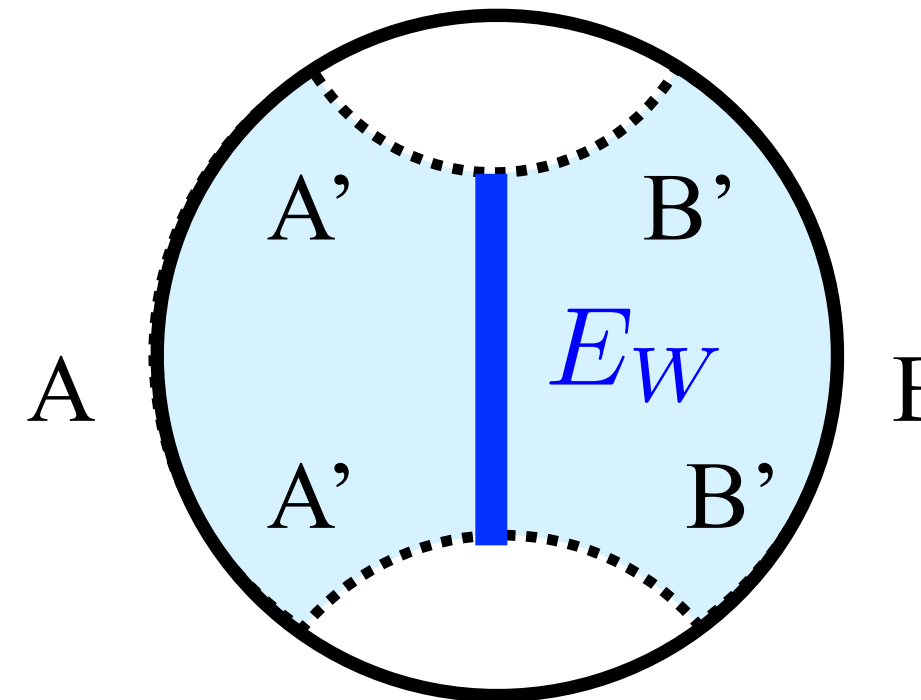
- 多くの場合、注目する系はなんらかの意味で“部分系”
- ホログラフィーでは、熱的状態(\in 混合状態)はブラックホールと対応
- AdS/CFT対応のより構成的な理解を目指して (subregion/subregion duality)

$$\rho_{AB} = \text{Tr}_{(AB)^c} |0\rangle\langle 0|$$



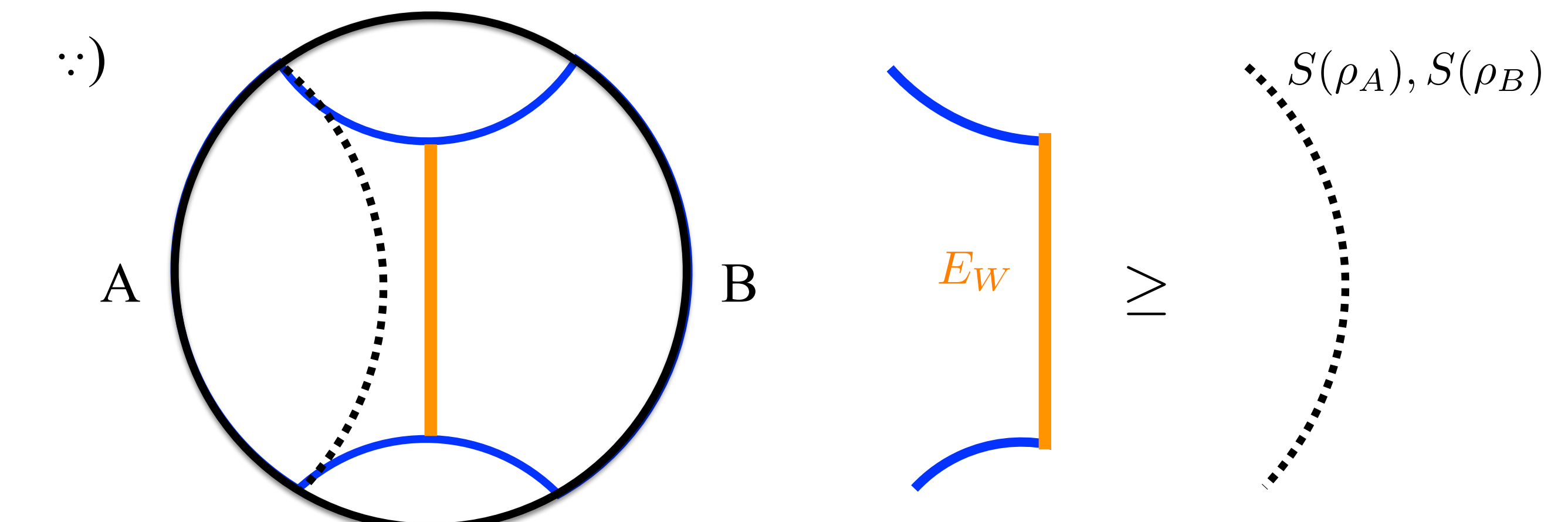
2. 混合状態に対する量子情報量

Entanglement Wedge Cross Section (EWCS)



entanglement wedge
cross section

- EWの境界を仮想的なboundaryだと思った時の、**極小曲面の面積 (断面積)**
Umemoto-Takayanagi '17,
Nguyen-Devakul-Halbasch-Zaletel-Swingle '17
- 純粹状態の場合、通常の笠-高柳公式に戻る
- 種々の不等式 $2E_W \geq I_{AB} = S(\rho_A) + S(\rho_B) - S(\rho_{AB})$



2. 混合状態に対する量子情報量

EWCSを計算する情報量の提案

- Entanglement of purification (純粹化量子もつれ)

オリジナルの提案

Umemoto-Takayanagi '17,
Nguyen-Devakul-Halbasch-Zaletel-Swingle '17

- Logarithmic Negativity (対数ネガティビティ) Kudler-Flam—Ryu '18

- Odd entropy (オッド・エントロピー) KT '18

新しく導入された量

- Reflected entropy (反射エントロピー)

Dutta-Faulkner '19

2. 混合状態に対する量子情報量

純粹化（purification）を用いる

Purification: 混合状態をより大きなHilbert空間の純粹状態で表現

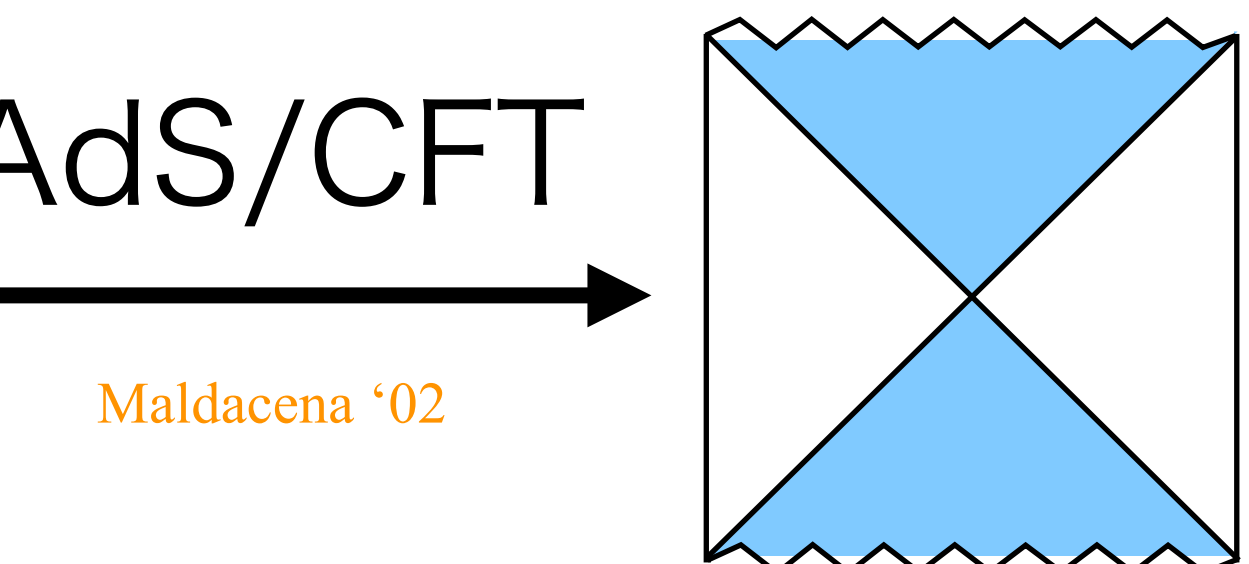
$$\rho_X \longrightarrow |\psi_{XX^*}\rangle \text{ s.t. } \rho_X = \text{Tr}_{X^*} (|\psi_{XX^*}\rangle \langle \psi_{XX^*}|)$$

- X^* は最低でも X と同じサイズが必要
- 一意ではない (X^* に作用するユニタリー変換分の自由度)

有名な例: Thermo Field Double state (TFD state)

Eternal BH

$$\rho_\beta = \frac{e^{-\beta H}}{Z(\beta)} \longrightarrow |\text{TFD}_\beta\rangle = Z(\beta)^{-\frac{1}{2}} \sum_n e^{-\frac{\beta}{2} E_n} |n_A n_B\rangle$$



2. 混合状態に対する量子情報量

純粹化 (purification) を用いる

- Entanglement of purification Terhal-Horodecki-Leung-DiVincenzo '02

$$E_P(\rho_{AB}) = \min_{\text{all purifications}} S(\rho_{AA^*})$$
$$|\psi_{AA^*BB^*}\rangle$$

- Reflected entropy Dutta-Faulkner '19

$$S_R(\rho_{AB}) = S(\rho_{AA^*}) |\sqrt{\rho_{AB}}_{AA^*BB^*}\rangle$$

Canonical purification

$$\rho_{AB} = \sum_n p_n |n_{AB}\rangle \langle n_{AB}| \longrightarrow |\sqrt{\rho_{AB}}_{AA^*BB^*}\rangle = \sum_n \sqrt{p_n} |n_{AB}\rangle |n_{A^*B^*}^*\rangle$$

2. 混合状態に対する量子情報量

EoP, REとEWCS

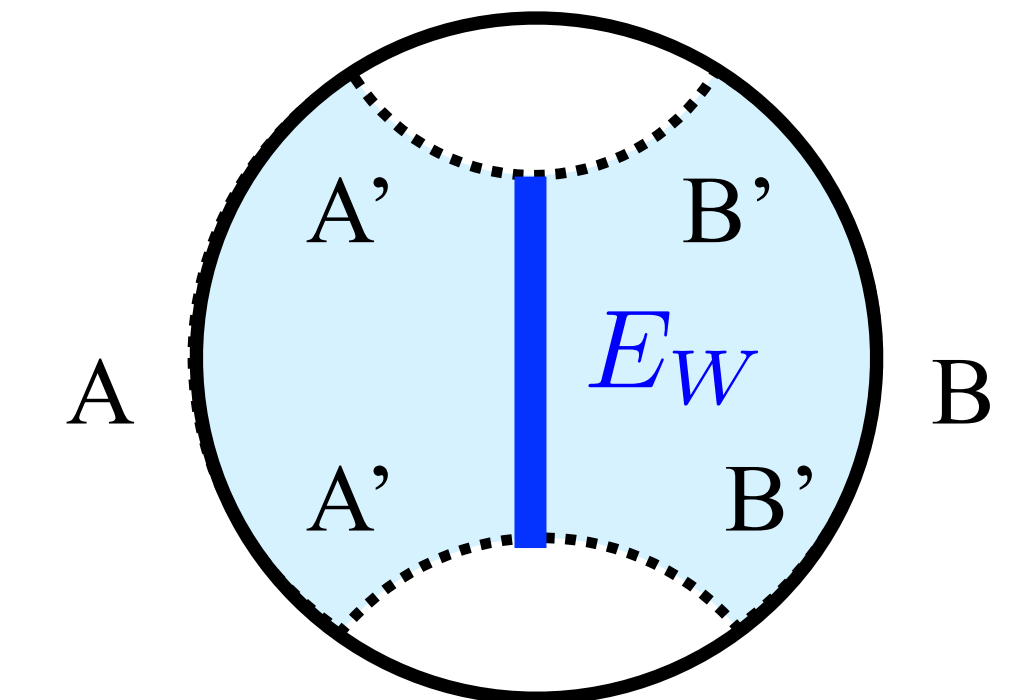
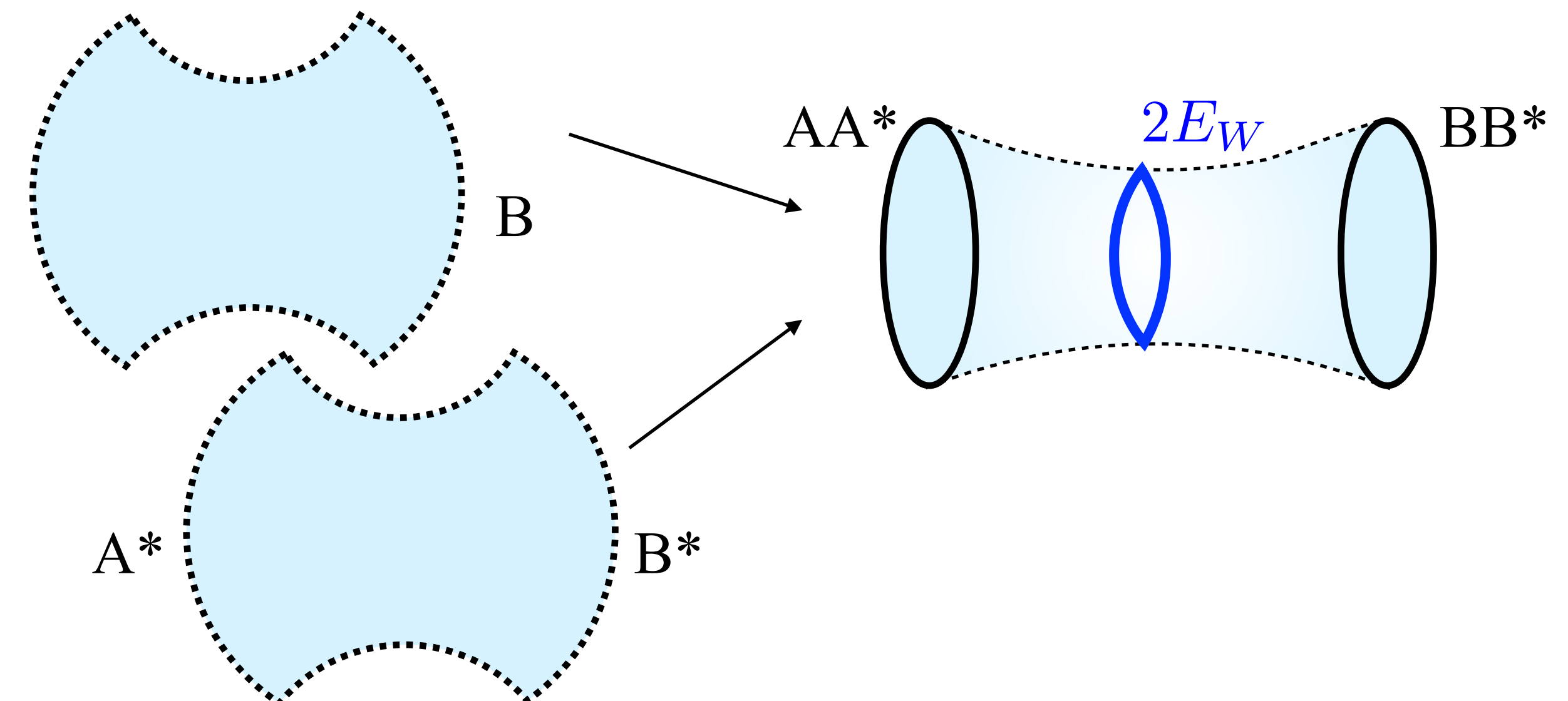
$$E_P = E_W$$

- ・種々の非自明な不等式の一一致
Umemoto-Takayanagi '17,
Nguyen et al.'17
- ・Surface/state 対応 Miyaji-Takayanagi '15
- ・Path integral optimizationによる計算
Caputa-Miyaji-Takayanagi-Umemoto '18
- ・ある種のTNでの計算

$$S_R = 2E_W$$

- ・Lewkowycz-Maldacena 的な証明

Dutta-Faulkner '19



2. 混合状態に対する量子情報量

部分転置

$$\langle i_A, j_B | \rho_{AB}^{T_B} | k_A, \ell_B \rangle = \langle i_A, \ell_B | \rho_{AB} | k_A, j_B \rangle$$

部分転置 \sim 部分“時間反転” \rightarrow 非物理的な状態(負の確率)

Peresの定理: 部分転置した密度行列が負の固有値を持つ \Rightarrow entangled state

(逆は必ずしも真ではない: 束縛エンタングルメント)

・ 対数ネガティビティ (負の固有値の絶対値の和) Vidal-Werner '02

$$E_{LN} = \lim_{n_e: \text{even} \rightarrow 1} \log \text{Tr}(\rho_{AB}^{T_B})^{n_e}$$

・ オッド・エントロピー (部分転置した行列の “von Neumann entropy”)

$$S_o = \lim_{n_o: \text{odd} \rightarrow 1} \frac{\text{Tr}(\rho_{AB}^{T_B})^{n_o} - 1}{1 - n_o} \quad \text{KT '18}$$

2. 混合状態に対する量子情報量

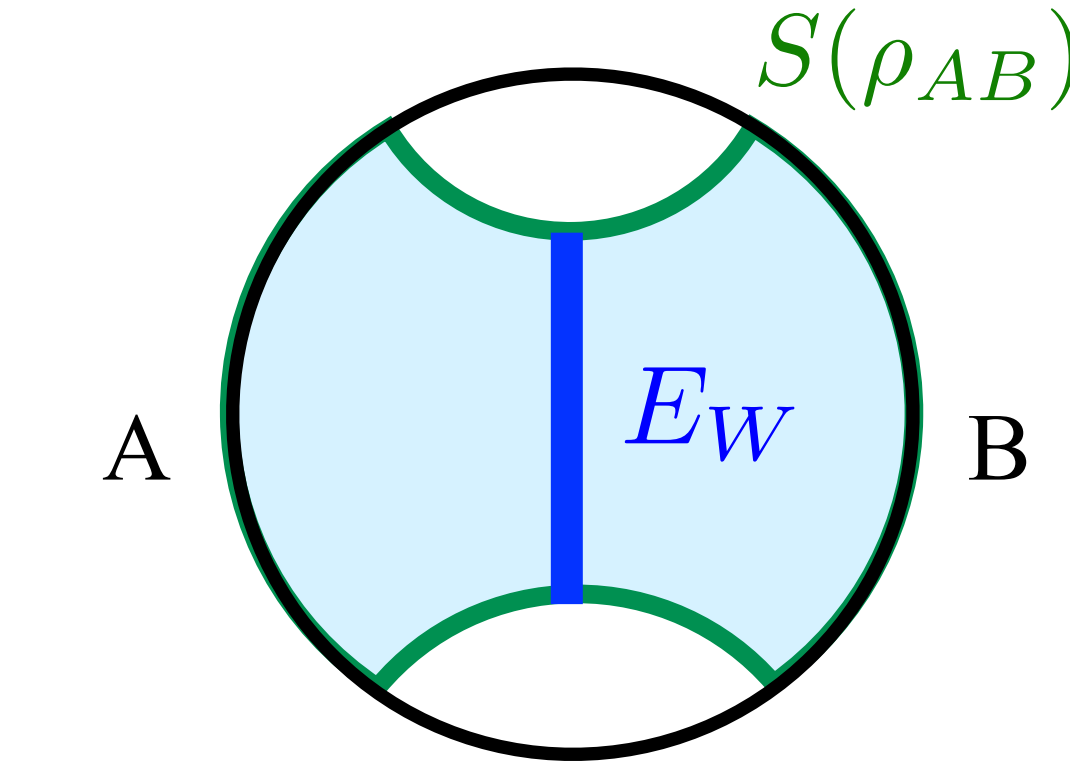
対数ネガティビティ, オッド・エントロピーとEWCS

$$S_o(\rho_{AB}) = S(\rho_{AB}) + E_W(\rho_{AB})$$

KT '18

$$E_{LN}(\rho_{AB}) = E'_W(\rho_{AB})$$

Kudler-Flam—Ryu '18



- LNは時空にバックリアクションが入る ($n > 1$ レニー・エントロピーと同じ)

より正確には、REのレニー版と関係付けられる Kudler-Flam—Kusuki—Ryu '19

- どちらも、2次元共形場の理論の直接計算

(技術的には、large-c 共形ブロックの具体系から得られる→後にREにも応用)

Hirai-KT-Yokoya '18

- Random TN の計算ではレプリカ対称性が破れる

Dong-Qi-Walter '21

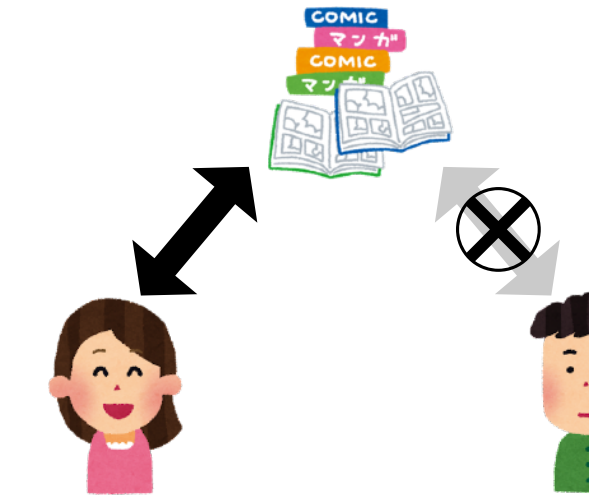
2. 混合状態に対する量子情報量

EWCSはどのような相関を捉えているか？

- 何か相互情報量以上のものをカウントしている? $E_W \geq I_{A:B}/2$

重力双対を持つCFTにおいて、相互情報量は量子相関が支配的 (モノガミー関係式を満たす)

$$I_{A:BC} \geq I_{A:B} + I_{A:C}$$



- EWCSはエンタングルメント測度(量子もつれだけを測る理想的な情報量)とは双対になれない

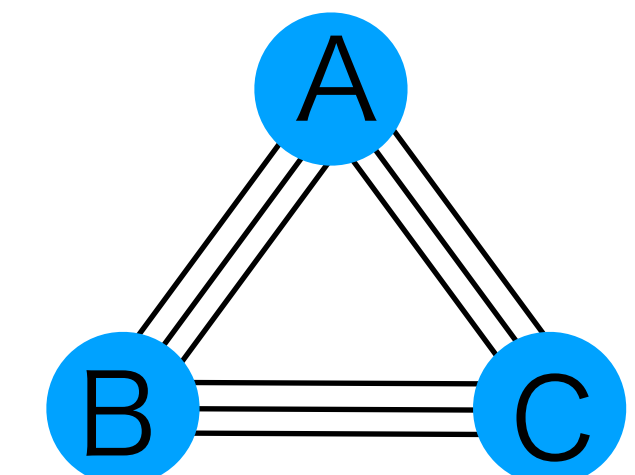
Umemoto '19

→ **時空創発には、古典相関も重要?** (= より大きな系の多体量子相関 !)

- 典型的なAdS/CFTのトイモデル:

bi-partite entanglement が (large bound dimension で) 支配的

“Triangle State” $|\Psi_{ABC}\rangle \sim |\text{EPR}_{AB}\rangle^{\otimes a} |\text{EPR}_{BC}\rangle^{\otimes b} |\text{EPR}_{CA}\rangle^{\otimes c}$



2. 混合状態に対する量子情報量

W-type entanglement の重要性

Aker-Rath '19

- 何か相互情報量以上のものをカウントしている? $E_W \geq I_{A:B}/2$

Reflected entropy と相互情報量の差

$H_{A:B} \equiv S_R(\rho_{AB}) - I_{A:B}$ を計算すると…

- 2種類の (genuine) tri-partite entangled state

$$|GHZ\rangle = \frac{1}{\sqrt{2}}(|0_A 0_B 0_C\rangle + |1_A 1_B 1_C\rangle)$$

$$H_{A:B} = 0$$

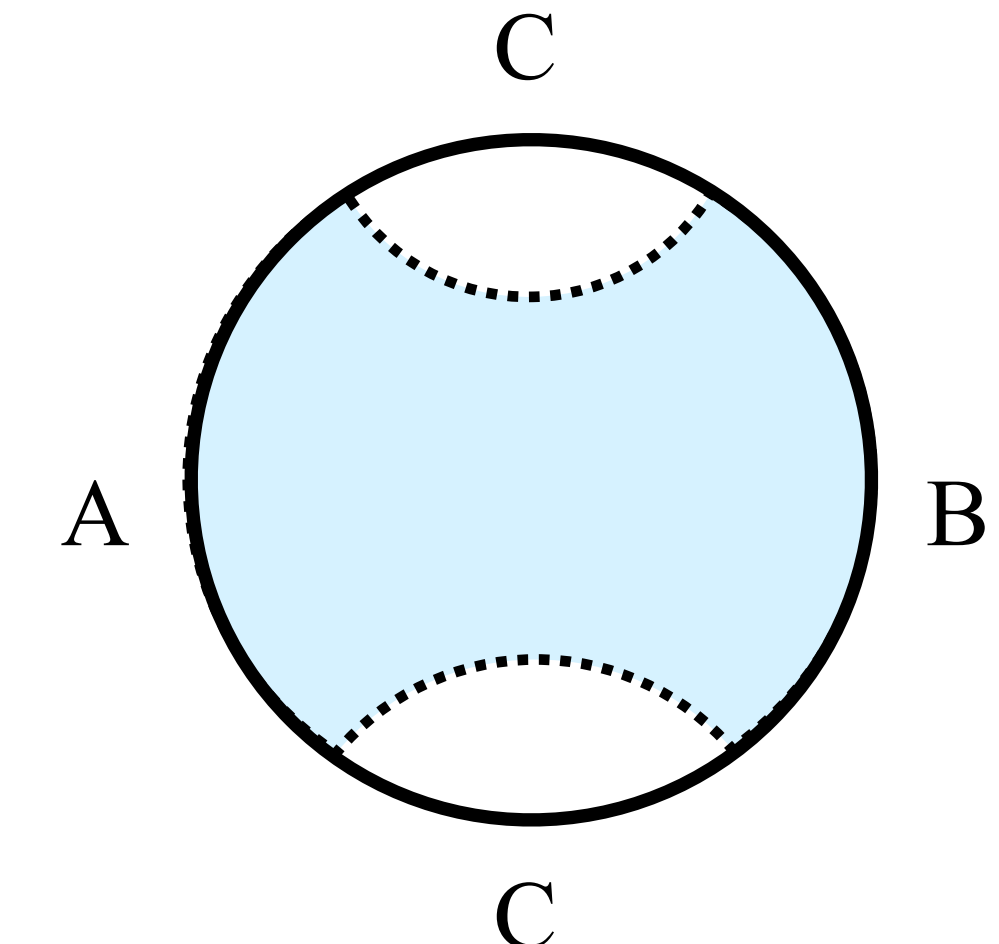
$$|W\rangle = \frac{1}{\sqrt{3}}(|0_A 0_B 1_C\rangle + |0_A 1_B 0_C\rangle + |1_A 0_B 0_C\rangle)$$

$$H_{A:B} > 0$$

c.f. REの代わりにEoPを使うとGHZでも正

- 一般に、triangle stateの和 (GHZの一般化) に対して、 $H=0$ Zou-Siva-Soejima-Mong-Zaletel '21

時空創発には、W-type entanglement も重要?

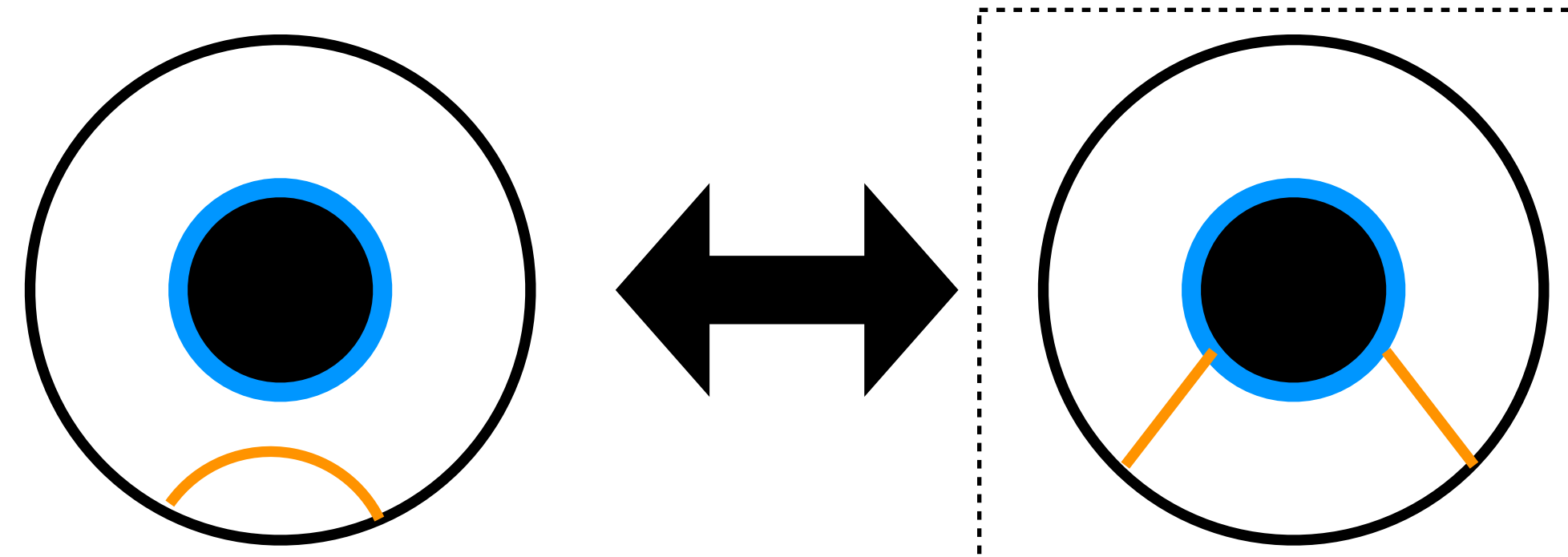


2. 混合状態に対する量子情報量

Black hole microstates への示唆

- ・プライマリー状態の時空構造 (“ホライズン上”で時空が終わっている)

Kusuki-KT '19



$|O_H\rangle$:重いプライマリー状態

$$\Delta_H \geq \frac{c}{12}$$

(2d HCFT の odd entropy, reflected entropy の計算から)

- ・ Disentangled state と呼ばれる atypical state
- ・ Disentangled state は BH エントロピーを large-N で説明できるだけ存在

Wei-Yoneta '22

EoP=EWCS から一般に示せる !

2. 混合状態に対する量子情報量

面積演算子の期待値としてのEWCS

- Entanglement entropy in HCFT は面積演算子の期待値として解釈できる

Almheiri-Dong-Swingle'16

古典時空と双対な状態の重ね合わせ (order c^0)

$$|\psi\rangle = \sum_i c_i |\psi_i\rangle \longrightarrow S(\rho_A^\psi) = \sum_i |c_i|^2 S(\rho_A^{\psi_i}) = \frac{\langle\psi|\hat{A}_{4G_N}|\psi\rangle}{\langle\psi|\psi\rangle}$$

- EWCSに双対な情報量は同じような解釈ができるか? in progress

Odd entropy, reflected entropy \rightarrow YES (CFTの計算)

Entanglement of purification \rightarrow YES (EWCSとの等価性+ α は仮定)

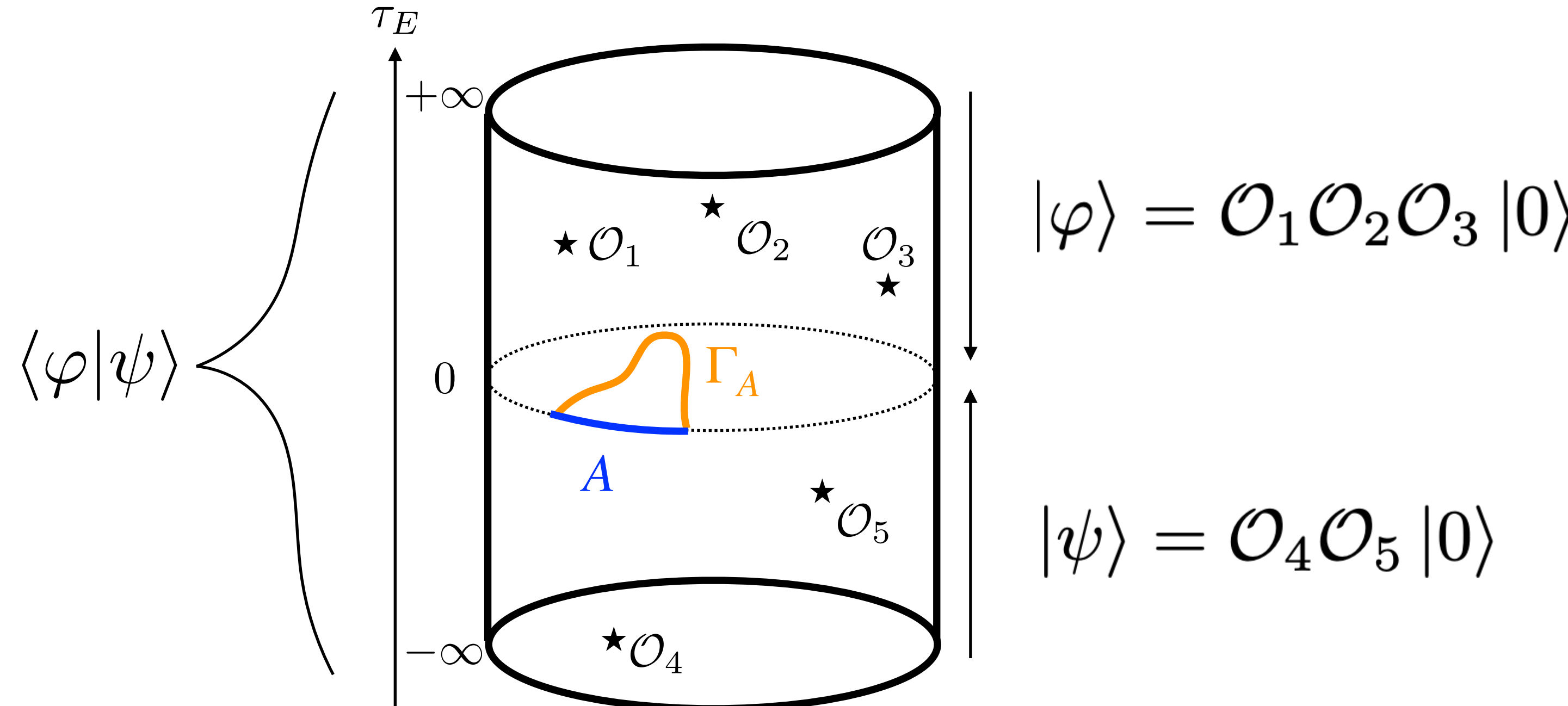
このトークで話すこと：

- ・ホログラフィーを動機として生まれた量子情報量
- ・その量子重力及び量子多体系への応用

1. Introduction (エンタングルメント・エントロピー)
2. 混合状態に対する量子情報量
3. エントロピーの事後選択過程への一般化
4. Discussion

より一般的な文脈での極小曲面

非対称な時空 (Euclidean AdS) における面積？

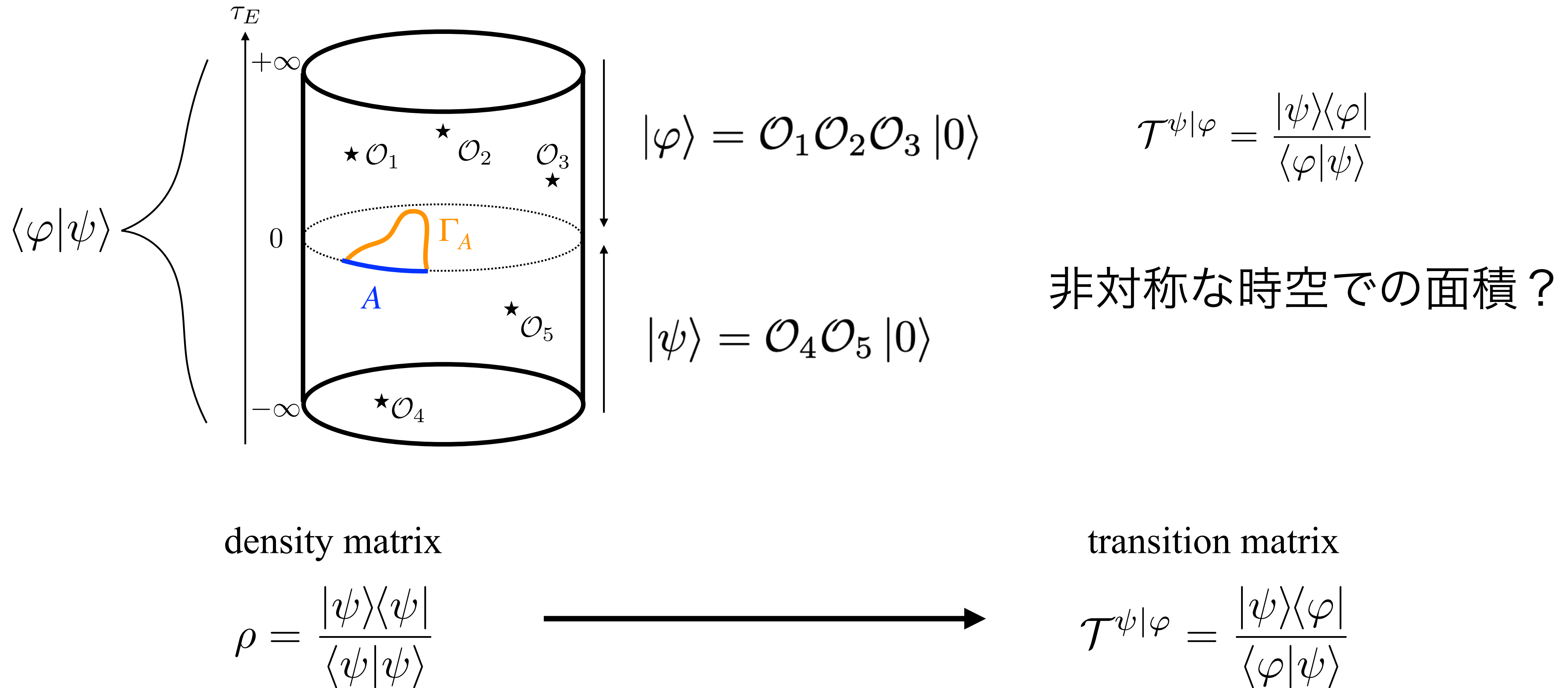


dS/CFT 対応 一般に重力の面積項がCFT側で複素数値になる

$$\ell_{AdS} \rightarrow i\ell_{dS} \quad c \propto \ell^\sharp$$

Narayan '15, Sato '15, ...

より一般的な文脈での極小曲面



Pseudo entropy

Nakata-Takayanagi-Taki-KT-Wei '20

$$S(\mathcal{T}_A^{\psi|\varphi}) = -\text{Tr} \left[\mathcal{T}_A^{\psi|\varphi} \log \mathcal{T}_A^{\psi|\varphi} \right]$$

$$\mathcal{T}^{\psi|\varphi} = \frac{|\psi\rangle\langle\varphi|}{\langle\varphi|\psi\rangle}$$

where $\mathcal{T}_A^{\psi|\varphi} = \text{Tr}_{A^c} \mathcal{T}^{\psi|\varphi}$

- 種々の良い性質
 - $S(\mathcal{T}^{\psi|\varphi}) = 0$
 - $S(\mathcal{T}_A^{\psi|\varphi}) = S(\mathcal{T}_{A^c}^{\psi|\varphi})$ (A^c : complement of A)
 - $S(\mathcal{T}_A^{\psi|\varphi}) = 0$ ($|\varphi\rangle$ and/or $|\psi\rangle$: product state)
 - $S(\mathcal{T}_A^{\psi|\varphi})^* = S(\mathcal{T}_A^{\varphi|\psi})$

一般に複素数値を取るため、不等式（強劣加法性など）は成り立たない

- ・混合状態への一般化は可能 (purificationを使う)
- ・特異値を用いて類似の量を定義することも可能 (SVD entanglement entropy)

Parzygnat-Takayanagi-Taki-Wei '23

- ・EEと同様な解釈あり

$$(|\psi\rangle)^{\otimes n} \xrightarrow{\text{LOCC}} (|\text{EPR}\rangle)^{\otimes N} \xrightarrow{\text{Postselect}} (|\varphi\rangle)^{\otimes n}$$

$$S(\mathcal{T}_A^{\psi|\varphi}) = \lim_{n \rightarrow \infty} \frac{N}{n}$$

c.f. Entanglement Entropy

$$S(\rho_A) = \lim_{n \rightarrow \infty} \frac{N}{n} \quad (\rho_A = \text{Tr}_{A^c} |\psi\rangle\langle\psi|)$$

$$(|\psi\rangle)^{\otimes n} \xrightarrow{\text{LOCC}} (|\text{EPR}\rangle)^{\otimes N}$$

弱値との関係

- Holographic CFT では面積演算子の弱値として振る舞う

$$S(\mathcal{T}_A^{\psi|\varphi}) = \frac{\langle \varphi | \frac{\hat{A}}{4G_N} | \psi \rangle}{\langle \varphi | \psi \rangle}$$

$$| \psi \rangle = \sum_i c_i \underbrace{| \mathcal{O}_{H_i} \rangle}_{| \varphi \rangle = \sum_j b_j | \mathcal{O}_{H_j} \rangle} \quad \rightarrow \quad \frac{\sum_i b_i^* c_i \frac{\text{Area}(\Gamma_A^{H_i})}{4G_N}}{\sum_i b_i^* c_i}$$

States dual to BHs \rightarrow [complex-valued](#)

- 一般に、最大固有値よりも大きな値を取れる (amplification)

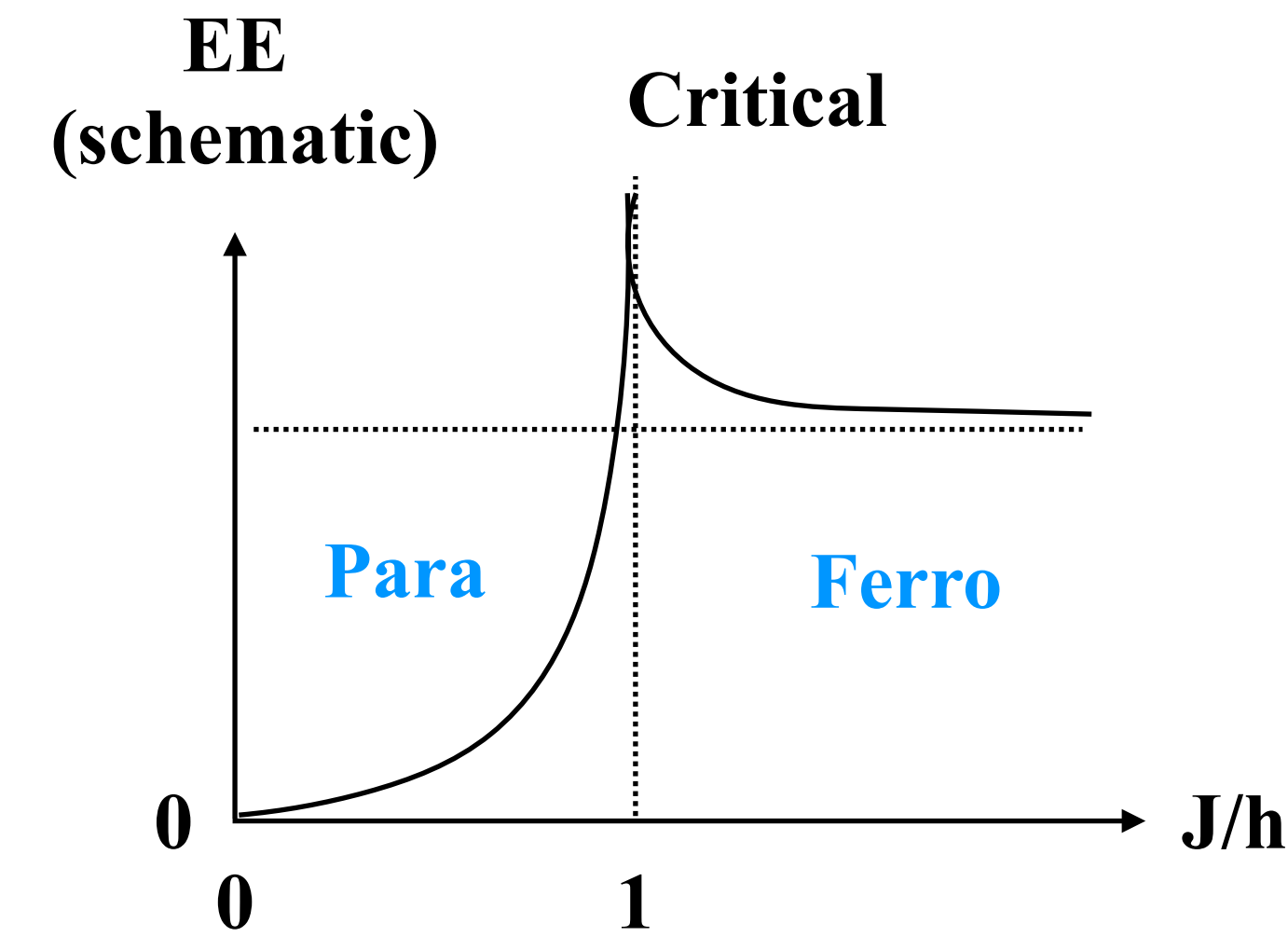
$\log \mathcal{T}$ “Modular Hamiltonian”的右・左固有状態の場合、增幅は起きない
 (直交するエンタングルメント状態の線形和 \rightarrow qubitや自由場では增幅)

量子多体系における応用（同量子相に属しているかの判定）

例) 横磁場Ising模型の基底状態たち

$$H_{1,2} = -J_{1,2} \sum_{i=0}^{N-1} \sigma_i^z \sigma_{i+1}^z - h_{1,2} \sum_{i=0}^{N-1} \sigma_i^x$$

$$\Delta S_{12} \equiv S(\mathcal{T}_A^{1|2}) - S(\rho_A^{(1)})/2 - S(\rho_A^{(2)})/2$$



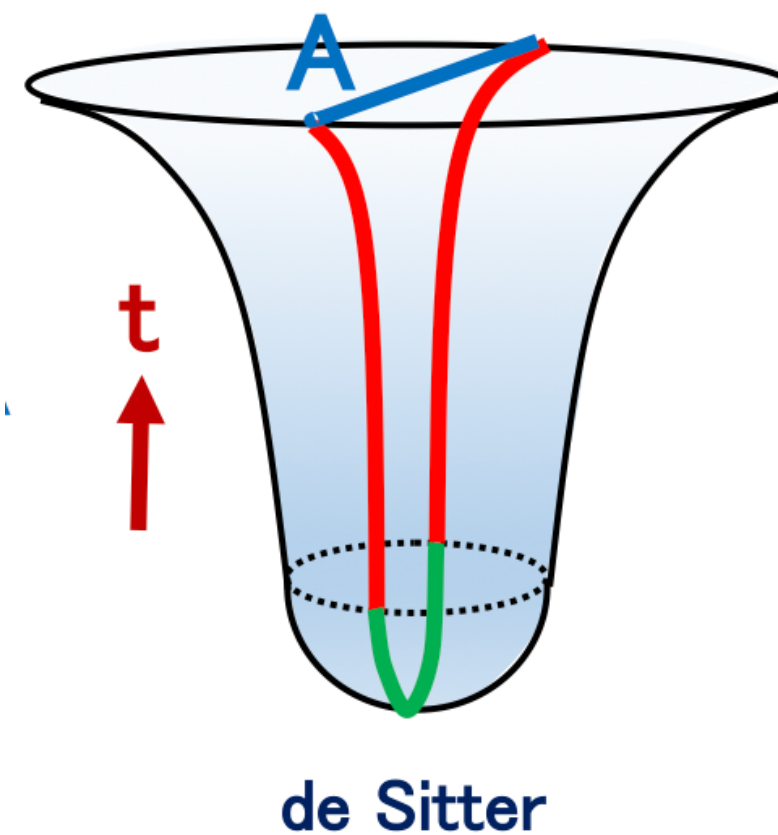
$\Delta S_{12} > 0$ If two states belong to **different phases**

$\Delta S_{12} < 0$ If two states belong to **the same phase**

dS/CFT での HEE 公式は、pseudo entropy として理解できる

Q. PE の虚数部に holographic な解釈はあるか？

Doi-Harper-Mollabashi-Taki-Takayanagi '22



→ 時間方向の測地線 (dS3/CFT2の場合) の寄与

$$S_A = i \frac{c_{dS}}{3} \log \left(\frac{2}{\epsilon} \sin \frac{\theta}{2} \right) + \frac{c_{dS}}{6} \pi$$

Timelike 測地線の長さ

Spacelike

Figure taken from 2302.11695

- AdS3/CFT2 双方の計算の適切な解析接続としても理解できる
- 非エルミート系などの固有状態の EE は本質的に pseudo entropy !

このトークで話したこと：

- ・ホログラフィーを動機として生まれた量子情報量
- ・その量子重力及び量子多体系への応用

① 混合状態に対する量子情報量

多体系量子相関も時空創発には重要, BH microstate への示唆, …

② エントロピーの事後選択過程への一般化

量子相の分類, dS/CFT 対応への応用

Discussion

① 混合状態に対する量子情報量

- REは、実は correlation measure になっていない (?!) Hayden-Lemm-Sorce '23

$$S_R(A : BC) \stackrel{?}{\geq} S_R(A : B)$$

反例: $\rho_{ABC} = \frac{1}{4\beta+2} \left(\beta(|000\rangle\langle 000| + |110\rangle\langle 110| + |200\rangle\langle 200| + |210\rangle\langle 210|) + |020\rangle\langle 020| + |121\rangle\langle 121| \right).$

↔ 場の理論では真っ当な振る舞いをする (場の理論で“良い”量子情報量とは?)

② Pseudo entropy

- dS/CFTへの応用のアイディアは通常の場の理論へも拡張できる (time-like entanglement)
Doi-Harper-Mollabashi-Taki-Takayanagi '22

→ BHの物理への応用 in progress See also Miyaji '21, Akal-Kawamoto-Ruan-Takayanagi-Wei '21

このトークで話したこと：

- ・ホログラフィーを動機として生まれた量子情報量
- ・その量子重力及び量子多体系への応用

① 混合状態に対する量子情報量

多体系量子相関も時空創発には重要, BH microstate への示唆, …

② エントロピーの事後選択過程への一般化

量子相の分類, dS/CFT 対応への応用